

Современное состояние и перспективы развития фотометрии осветительных приборов

Р.И. СТОЛЯРЕВСКАЯ¹, Е.И. РОЗОВСКИЙ²

¹ООО «Редакция журнала «Светотехника», Москва

²ООО «ВНИСИ им. С.И. Вавилова», Москва

¹E-mail: lights-nr@inbox.ru

Аннотация

Статья посвящена обзору материалов в части рекомендаций, методов и средств воспроизведения и передачи размеров единиц фотометрических, энергетических и фотонных величин. Рассмотрены способы воспроизведения единиц фотометрических величин и их прослеживание до основных единиц системы СИ, а также связь методов и средств передачи размеров единиц от первичных эталонов измерительным установкам испытательных центров и лабораторий и современные требования к методам и средствам испытаний осветительных приборов, используемых в системах освещения различного назначения.

Ключевые слова: оптическая радиометрия, фотометрия, колориметрия, спектрорадиометрический подход, детекторный подход, фотонные величины, гониофотометрия, фотояркомер.

1. Введение

В последние десятилетия получили существенное развитие разработки в области создания источников света [1, 1а, 2, 2а], приёмников излучения [3, 4], измерительной техники и прецизионного приборостроения в целом [5–7]. Этот процесс идёт параллельно с развитием и внедрением квантовой технологии в метрологию [8], что обусловлено волновой природой света и лежит, практически, в основе определения канделя 1979 г.

Международный выбор в направлении квантовой технологии или фотоники требует совершенствования прослеживания и достоверности измерений не только для однофотонных, но и для мультифотонных процессов. И хотя последнее требование ещё в процессе исследований и разработки, эволюцию в воспроизведении канделя в направлении квантового подхода (например, кандела –

это сила света монохроматического источника излучения в данном направлении с частотой $540 \cdot 10^{12}$ Гц, силой излучения, равной $1/683$ Вт/ср и фотонной силой излучения, равной $(683 \cdot 540 \cdot 10^{12} \cdot 6,626 \cdot 068 \cdot 96 \cdot 10^{-44})^{-1}$ фотон/(с · ср), можно считать современной, особенно с учётом того, что четыре единицы системы СИ (кг, моль, Кельвин и Ампер) переопределены в терминах физических констант с целью создания универсальной квантовой системы СИ на основе фундаментальных констант [9, 10, 11].

Подготовленный и официально одобренный Консультативным комитетом по фотометрии и радиометрии (ККФР) Международного комитета мер и весов (МКМВ) документ [12] является меморандумом «практического применения» в целях модернизации и расширения предыдущей версии этого документа, ограниченного реализацией канделя на основе её определения 1979 г., действующего по сей день. Фотометрия и используемые в оптической радиометрии единицы измерения тесно связаны друг с другом современным определением основной единицы системы СИ – канделя. Меморандум охватывает реализацию канделя, равно как и других единиц измерения фотометрических и радиометрических величин. Последние достижения в области генерации и использования отдельных фотонов открывают огромные возможности в части оценки потоков излучения количеством фотонов. Поэтому принятый документ дополнительно включает в себя информацию о практической реализации перехода от измерений фотометрических и радиометрических величин к измерению фотонных величин.

1.1. Фотометрия и радиометрия

Канделя – это основная единица для измерения фотометрической величины «сила света» в системе СИ. Опреде-

ление канделя в системе СИ устанавливает связь между фотометрическими и радиометрическими единицами. В 1979 г. на 16-й Генеральной конференции по мерам и весам было принято следующее определение единицы силы света «канделя» [кд] [13]:

Кандела – это сила света, излучаемая в заданном направлении источником монохроматического излучения с частотой $540 \cdot 10^{12}$ Гц, сила излучения которого в этом направлении составляет $1/683$ Вт/ср.

Отсюда следует, что при измерении в системе СИ относительная спектральная световая эффективность K_{cd} монохроматического излучения с частотой $540 \cdot 10^{12}$ Гц в точности равна 683 кд·ср/Вт или лм/Вт.

Это определение сформулировано с использованием только физических терминов и только для одной частоты электромагнитного излучения. Целью фотометрии является такое измерение параметров излучения в видимой области спектра, при котором результаты измерений связаны со зрительными ощущениями, вызванными у наблюдателя именно этим излучением. Большинство источников света имеют широкий спектр частот. Поэтому Международная комиссия по освещению (МКО) определила несколько весовых функций, которые называют функциями относительной спектральной световой эффективности и которые описывают относительную спектральную чувствительность или спектр реакции среднего глаза человека при определённых условиях наблюдения. Эти функции записываются как зависимости от длины волны в стандартном воздухе (сухой воздух при 15°C и 101325 Па, содержащий 0.03 объёмных% диоксида углерода). нормализованные относительно их максимумов. Определение канделя призвано связать эти функции, задав их значения на указанной частоте. Постоянная K_{cd} вместе с функцией относительной спектральной световой эффективности связывает фотометрические и радиометрические величины для формирования единой метрологической системы.

В 2007 г. МКМВ заключил соглашение с МКО, согласно которому эти две организации признали, что:

- МКМВ отвечает за определение фотометрических единиц в системе СИ;
- МКО отвечает за стандартизацию функций относительной спектральной световой эффективности.

ральной световой эффективности глаза человека.

В общем виде уравнение, связывающее заданное спектральное распределение радиометрической величины $X_{e,\lambda}(\lambda)$ с соответствующей ей фотометрической величиной $X_{v,x}$, имеет вид:

$$X_{e,\lambda} = \frac{K_{cd}}{V_v(\lambda_a)} \int_{\lambda} X_{e,\lambda}(\lambda) V_v(\lambda) d\lambda, \quad (1)$$

где $\lambda_a = 555,017$ нм – длина волны в стандартном воздухе, которая соответствует частоте, приведённой в определении канделя, а нижний индекс «х» указывает на ту или иную функцию относительной спектральной световой эффективности МКО. Самой важной из этих связанных со зрением функций является относительная спектральная световая эффективность для адаптировавшегося к условиям дневного зрения глаза наблюдателя $V_v(\lambda)$, табулированная МКО с интервалом 1 нм для диапазона длин волн 350–830 нм. Недавно МКО стандартизировала функцию относительной спектральной световой эффективности для сумеречного зрения (*mesopic function*). Эта функция предназначена для использования при уровнях яркости, лежащих между уровнями яркости, соответствующими условиям дневного зрения, и уровнями яркости, соответствующими условиям ночного зрения (адаптации глаза в условиях ночного зрения), тем самым завершив стандартизацию связанных со зрением функций [14,15].

1.2. Фотометрия и фотонные величины

Фотонные величины – это характеристики оптического излучения, выраженные через известные количества фотонов или потоки фотонов. Из-за двойственной природы электромагнитного излучения, фотометрические и/или спектральные энергетические величины могут быть выражены через фотонные величины. Для длин волн в воздухе, связь между соответствующей заданной длине волны спектральной энергетической величиной $X_{e,\lambda}(\lambda)$ и соответствующей фотонной величиной $X_{p,\lambda}(\lambda)$ имеет вид:

$$X_{e,\lambda}(\lambda) = \frac{hc}{\lambda} \cdot n(\lambda) \cdot X_{p,\lambda}(\lambda), \quad (2)$$

где h – постоянная Планка, c – скорость света в вакууме, $n(\lambda)$ – спектральный коэффициент преломления стандартного воздуха.

Совместив уравнения (1) и (2), получаем общее уравнение, связывающее фотометрическую величину $X_{v,x}$ и соответствующую ей фотонную величину $X_{p,x}(\lambda)$:

$$X_{v,x} = K_{p,x} \int_{\lambda} X_{p,\lambda}(\lambda) \frac{n(\lambda) V_v(\lambda)}{\lambda} d\lambda, \quad (3)$$

где

$$K_{p,x} = \frac{K_{cd} hc}{V_v(\lambda_a)}. \quad (4)$$

а $K_{p,x}$ – коэффициент перевода фотонных величин в фотометрические для функции относительной спектральной световой эффективности $V_v(\lambda)$.

Фотонные величины особенно важны для характеристики осветительных приборов (ОП), работающих в области фотосинтетически активной радиации (ФАР) [16,17]. Такой подход требует знания числа фотонов, которые могут взаимодействовать с молекулами вещества, способного его воспринять. За единицу фотонного потока в области ФАР принято число фотонов, равное числу Авогадро $N_A = 6,026 \cdot 10^{23}$ моль⁻¹ [18], так что поток фотонов Φ_{ph} на длине волны λ в спектральном диапазоне ФАР будет равен:

$$\begin{aligned} \Phi_{ph}(\lambda) &= \frac{N_{ph}}{N_A} = \\ &= \frac{\Phi_v(\lambda) \lambda}{hc N_A}, \text{ [мкмоль/с]}, \end{aligned} \quad (5)$$

где число фотонов $N_{ph} = \Phi_v(\lambda) / E_{ph}(\lambda)$, т.е. равно отношению спектрального потока излучения $\Phi_v(\lambda)$ к энергии кванта соответствующей длины волн $E_{ph}(\lambda) = hc/\lambda$.

2. Воспроизведение канделя и производных единиц измерения радиометрических, фотометрических и фотонных величин

Так как определение канделя связывает фотометрические единицы измерения с радиометрическими, то практическая реализация фотометрических единиц почти всегда основана на практической реализации радиометрических единиц.

Обычно для реализации радиометрических единиц используются два основных метода. Это «детекторный» (*detector based*) и «основанный на источнике» (*source based*) подход, названные так в зависимости от того, что лежит в их основе: первичный эталонный приёмник или первичный эталонный источник излучения соответственно. Воспроизведение размеров единиц измерения фотонных величин, таких как поток фотонов (количество фотонов в секунду) или фотонная облучённость (количество фотонов в секунду на единицу площади) для низких уровней потоков излучения может быть осуществлено также при помощи радиометрических методов, основанных на приёмнике или источнике излучения и описывающих переход от радиометрических величин к фотонным. Однако, можно также использовать источники, которые генерируют отдельные фотоны, и в качестве основного метода реализации фотонных величин воспользоваться подсчётом фотонов. Это третий подход, который называется «фотонным» (*photon-based*). Ниже описаны наиболее распространённые в настоящее время подходы к измерению параметров оптического излучения.

Модель абсолютного радиометра, в которой реализован принцип электрического замещения (*Electrical Substitution Radiometer* – *ESR*), т.е. нагрев оптическим излучением сравнивают с нагревом замещающей излучение электрической мощностью. Этот хорошо известный метод в настоящее время наиболее часто реализуется с использованием приборов, охлаждённых до сверхнизких температур (<~20 K), при которых существенно уменьшается влияние многих источников погрешностей. Такие приборы называют «криогенными радиометрами (*cryogenic radiometer*)».

Фотодиоды с прогнозируемой квантовой эффективностью (*Predictable Quantum Efficient Photodiodes (PQED)*)

В основе метода лежит высокоеэффективный полупроводниковый материал, имеющий малые потери в определённом спектральном диапазоне длин волн. Как правило, это кремниевый фотодиод, и использование точного метода преобразования фотонов в электроны и их регистрации прибором, позволяющие определить количество падающего оптического излу-



Рис. 1.
Государственный
первичный эталон
единицы силы света
и светового потока,
ВНИИОФИ, Москва

чения исходя из результатов измерения генерируемого фототока. Будучи изначально основанным на принципе «самокалибровки» отдельных фотодиодов, этот подход увеличил свою значимость после появления «приёмников-ловушек (trap detector)», обеспечивающих достижения близкого к единице квантового выхода благодаря созданию ловушек излучения, формирующих отражения от нескольких фотодиодов с электрически совмещёнными выходами, [3,4,19,20].

Абсолютный источник – это источник, характеристику оптического излучения которого можно рассчитать на основе результатов измерений других физических параметров, например термодинамической температуры. Оптическое излучение, генерируемое любым другим источником, можно измерить посредством прямого сравнения с таким абсолютным источником. Имеются два типа источников, которые при определённых условиях можно считать абсолютными:

- **Модель излучателя Плаика (модель чёрного тела)** (рис. 1) – Для полости с высоким коэффициентом излучения (очень близким к единице) излучаемая спектральная энергетическая яркость может быть спрогнозирована при помощи закона излу-

чения Планка исходя из термодинамической (абсолютной) температуры полости. В этом случае прослеживаемость имеет место до единицы температуры СИ – кельвина. Для многих требующих высокой точности областей применения абсолютная температура полости определяется при помощи радиометрически калиброванного приёмника со светофильтром (который называют «радиометром со светофильтром» (*filter radiometer*)), и в этом случае прослеживаемость имеет место до электрических единиц СИ. Если энергетическая яркость этого источника постоянна во всех направлениях, то воспользовавшись прецизионной апертурой, помещённой перед излучателем Планка в определённом направлении на достаточно большом расстоянии, рассчитанное значение его спектральной энергетической яркости можно преобразовать в прогнозируемую спектральную силу излучения, спектральную облучённость на заданном расстоянии или спектральное распределение потока в определённом телесном угле [21,22].

- **Кольцевой накопитель электронов, генерирующий синхротронное излучение** (рис. 2) – Электроны, движущиеся с релятивистскими скоростями по круговым траекториям, ге-

нерируют синхротронное излучение. При определённых условиях этот источник может считаться абсолютным, и в этом случае мощность пучка синхротронного излучения, генерируемого одним электроном, движущимся по круговой траектории с частотой v [$\text{Вт}\cdot\text{рад}^{-1}$], может быть спрогнозирована при помощи уравнения Шингера на основе известных и измеренных значений электрических и геометрических параметров. Любое, вплоть до одного, количество электронов может быть накоплено без каких-либо изменений в форме спектра излучения. В этом случае прослеживаемость имеет место до электрических единиц и единиц длины СИ. Синхротронное излучение охватывает большой, вплоть до 12 порядков, диапазон потоков фотонов, что позволяет привести поток фотонов в соответствие с чувствительностью исследуемого приёмника [23,24].

Прослеживаемость при измерениях, основанных на воспроизведении фотонных величин, базируется на том, что определение канделы можно посредством фотометрических и радиометрических величин связать с фотонными величинами [8,25]. При этом отдельные фотоны можно генерировать при помощи, например, нелинейных материалов, а также оптических и электрических источников единичных фотонов, и подсчитывать (при помощи, например, фотоумножителей, однофотонных лавинно-пролётных диодов, сверхпроводящих нанопроволочных детекторов и датчиков фазового перехода).

Наиболее распространённый метод измерения фотометрических величин базируется на использовании образцового фотометрического приёмника, спектральная чувствительность которого точно соответствует нужной функции относительной спек-



Рис. 2. Источник синхротронного излучения BESSY II, PTB, Берлин [21]

тральной световой эффективности. Приёмник (фотометр, фотометрическая головка) имеет калиброванную по площади прецизионную диафрагму (прослеживаемость до единицы яркости в системе СИ) и измеренную спектральную чувствительность (прослеживаемость до абсолютного радиометра [26]). Методом сравнения или прямыми измерениями фотометрическая единица передаётся другим, имеющим эталонный статус, источникам света или фотометрическим головкам, которые становятся вторичными эталонными фотометрическими источниками (или приёмниками) для передачи размера соответствующей фотометрической величины. В этом случае прослеживаемость до СИ «основана на приёмнике», так что имеет место прослеживаемость до электрических единиц СИ. Этот метод обычно требует проведения дополнительных измерений спектральной чувствительности фотометра для определения качества спектральной коррекции приёмника под соответствующую функцию относительной спектральной световой эффективности МКО. Для определения качества коррекции фотометра необходимо знать относительную спектральную характеристику измеряемого источника света [27]. Если в процессе эксперимента измеряют фотонные величины, то их можно при помощи уравнения (3) преобразовать в соответствующие фотометрические величины.

Практически, все методы определения фотометрических, энергетических и фотонных параметров приводят к прослеживаемости до основных единиц системы СИ (рис. 3).

Более подробно существующие методы реализации фотометрических и радиометрических единиц измерения описаны в [8].

3. Оборудование испытательных лабораторий для оптических радиометрических измерений

Оснащение и метрологическое обеспечение аккредитованных испытательных лабораторий и центров в области оптической радиометрии является неотъемлемой частью современного энергоэффективного, экологичного, обеспечивающего высокое качество среды обитания освещения. Международное светотехническое сообщество уделяет большое внимание

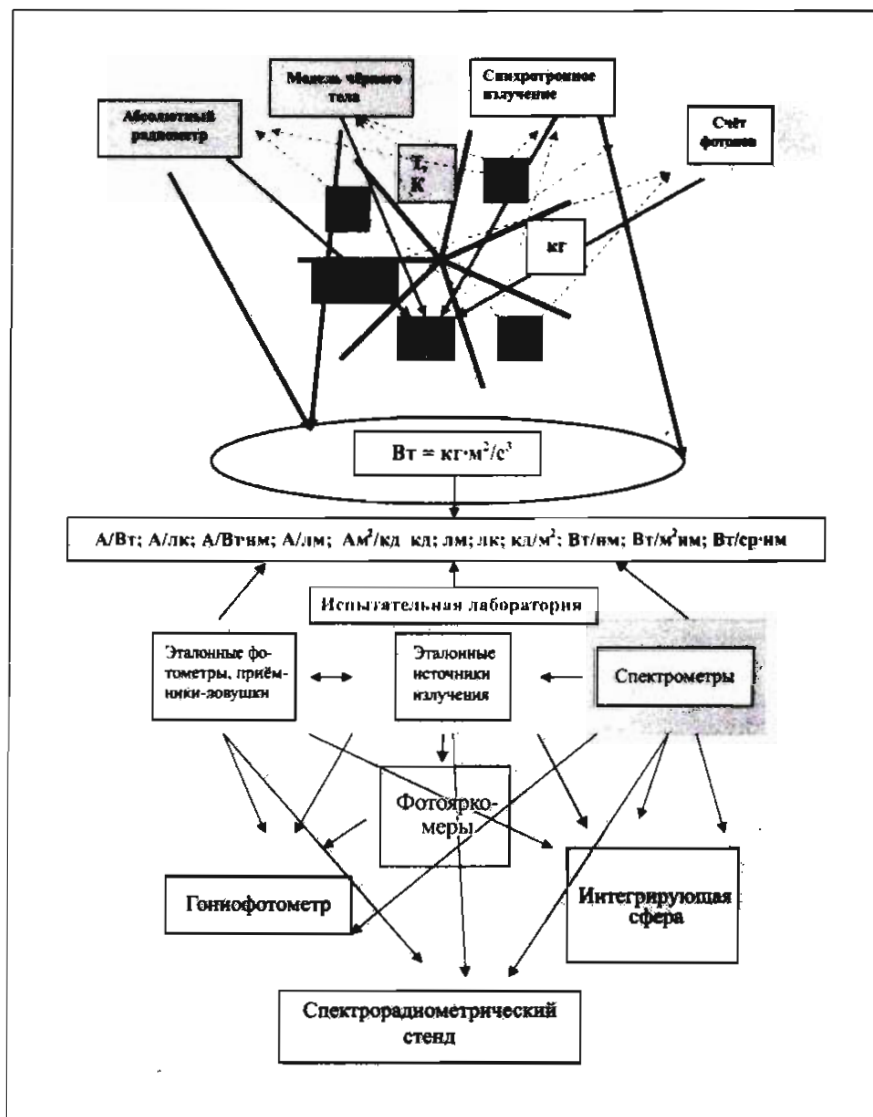


Рис. 3. Прослеживаемость к основным единицам системы СИ и передача размеров единиц от первичных и специальных эталонов оптической радиометрии некогерентного излучения измерительным комплексам испытательных лабораторий

единству измерений в части достоверной оценки параметров осветительной продукции.

С октября 2012 г. по август 2013 г. применительно к измерениям осветительных приборов со светодиодами группой международных экспертов были подготовлены и проведены в рамках специальной программы Международного энергетического агентства «IEA 4E SSL Annex» международные межлабораторные сличения IC2013, которые выявили определённые расхождения в результатах участников, обусловленные методиками измерений, используемым оборудованием и выбором критериев оценки неопределённости измерений [28, 29, 29a].

В настоящее время IEA 4E SSL Annex 2017 объявил о подготовке к новым международным сличениям испытательных лабораторий и центров в направлении гониофотометрических измерений на основе требований и методов нового стандарта МКО [30], прототипами которого являются: европейский документ EN13032-4, американский стандарт IESNA LM79, корейские стандарты KS C7653 и KS C7651 и другие международные и национальные материалы.

Новый стандарт МКО [30] предполагает следующие информационно-измерительные системы для тестирования характеристик ОП:

- комплексы с интегрирующей сферой; интегрирующая сфера с фотоме-

тром, интегрирующей сферой со спектрорадиометром;

– гонофотометрические комплексы: гониометр с фотометром (в том числе гонофотометры ближнего поля с с создающими изображения фотометрами (фотояркомерами), гониометр со спектрорадиометром, гониометр с трехканальным колориметром;

– яркомеры (традиционные и фотояркомеры);

– спектрорадиометрические установки с эталонными источниками излучения для измерения спектральных характеристик испытуемых ОП в заданных геометриях наблюдения.

Измерения устройств малых размеров, для которых не требуется определять распределение силы света (например, светодиодных ламп) проводят на комплексах с интегрирующей сферой. Измерения светильников, для которых обычно требуются данные о распределении силы света, проводят на гонофотометрических комплексах. Для определения спектральных и колориметрических характеристик применяют комплексы с фонарь-спектрорадиометр, гониометр-спектрорадиометр или гониометр-колориметр.

Комплекс гониометр-колориметр рекомендуется применять только для измерений относительных колориметрических характеристик. Спектрорадиометрический стенд используют для определения абсолютных спектральных характеристик источников света (ИС) и ОП и расчётов характеристик, измеренных в определённых геометриях (углах наблюдения), например, для определения параметра опасной синей яркости L_h [31, 32, 32a]. Все средства измерений, входящие в комплексы, должны быть поверены (калиброваны) с прослеживаемостью к единицам СИ.

3.1. Требования к интегральным фотометрам

Спектральные характеристики применяемых в установках фотометров, люксметров, фотометрических головок и яркомеров должны соответствовать функции относительной спектральной световой эффективности монохроматического излучения для дневного зрения $I(\lambda)$, [36]. Суммарный коэффициент несоответствия коррекции f'_1 (сфера фотометр, гонофотометр, люксметр) не должен превышать 3 % [27, 33, 34].

Если это требование выполняется, то коррекция спектрального несоответствия требуется только при измерениях гостируемых приборов (ТП) с цветными светодиодами. Невыполнение этого требования допускается, если коррекция спектрального несоответствия применяется при измерениях каждого ТП. В этом случае текущие значения f'_1 заносят в протокол измерений. Если коррекция спектрального несоответствия не проводится, то следует оценить вклад этой погрешности в бюджет неопределённостей. Если коррекция проводится, то всё равно следует учитывать вклад, связанный с качеством коррекции под $I(\lambda)$, в суммарный бюджет неопределённостей [35].

При измерениях фотометрических характеристик в условиях ночного или сумеречного зрения рекомендуется использовать относительные спектральные световые эффективности отличные от $I(\lambda)$ [14, 15].

3.2. Интегрирующая сфера

Интегрирующая сфера должна быть оборудована вспомогательной лампой для измерения самопоглощения. Самопоглощение зависит от соотношения размеров ТП и сферы, формы и размеров ТП и эталонной лампы, а также отражающих характеристик ТП и покрытия сферы.

Когда ТП устанавливается в центре сферы (4π -геометрия), площадь поверхности ТП должна составлять не более 2 % от площади внутренней поверхности сферы. Когда ТП устанавливается у отверстия сферы (2π -геометрия), диаметр отверстия не должен превышать 1/3 диаметра сферы. Когда ТП устанавливается в центре сферы, его длинная ось должна совпадать с линией, проведённой между детектором фотометрической головки и центром сферы, чтобы минимизировать размеры экрана.

Внутреннее покрытие сферы должно быть диффузным, спектрально неселективным и не имеющим флюоресценции. Для измерений рекомендуется использовать сферы с коэффициентом отражения покрытия не менее 90 %. Держатель источника света и вспомогательное оборудование внутри сферы должны иметь как можно меньшие размеры и покрытие с максимально возможным диффузным отражением. Для обес-

печения косинусной коррекции на входное отверстие фотометрической головки или спектрорадиометра устанавливают диффузную насадку или вспомогательную сферу. Косинусная погрешность должна быть не более 15 %. Воспроизводимость измерений при закрывании и открывании сферы должна быть в пределах $\pm 0,5 \%$. Допустимое изменение чувствительности сферы между калибровками должно быть не более 0,5 %.

Калибровка интегрирующей сферы выполняется с помощью эталонной лампы светового потока, имеющей, желательно, сходное с ТП пространственное распределение силы света. Различие в распределении силы света должно учитываться в бюджете неопределённостей.

3.2.1. Комплекс сфера-спектрорадиометр

Комплекс сфера-спектрорадиометр следует калибровать с помощью эталона спектрального распределения полного потока излучения, имеющего прослеживаемость к единице СИ. В случае отсутствия такого эталона калибровка может быть выполнена с помощью эталонной лампы спектральной плотности облучённости и эталонной лампы полного светового потока, имеющих прослеживаемость к единице СИ. В этом случае использованный метод и связанные с ним параметры (например, угловая однородность спектрального распределения или коррелированной цветовой температуры эталонной лампы) должны быть записаны в протокол измерений. Обязательным условием является совместная калибровка комплекса сферы вместе со спектрорадиометром. Спектрорадиометр, используемый в комплексе сфера-спектрорадиометр, должен удовлетворять следующим требованиям:

- диапазон длин волн от 380 до 780 нм;
- неопределённость установки длины волны спектрорадиометром не должна превышать 0,5 нм при $k = 2$;
- спектральная ширина щели и шаг сканирования не должны превышать 5 нм.

Спектрорадиометр должен иметь линейный отклик на входящее излучение на каждой длине волны видимого диапазона. Влияние нелинейности и внутреннее рассеяние света

должны учитываться в бюджете неопределённостей.

Вспомогательная лампа для измерения самопоглощения должна иметь спектр излучения в видимом диапазоне длин волн.

3.2.2. Комплекс сфера-фотометр

Комплекс сфера-фотометр следует калибровать с помощью эталона полного светового потока, имеющего прослеживаемость к единице СИ [37]. Этalonная лампа и ТП должны иметь похожие спектральные распределения излучения.

Комплекс сфера-фотометр должен иметь относительное спектральное распределение, соответствующее функции относительной спектральной световой эффективности монохроматического излучения для дневного зрения $I(\lambda)$ (см. также требования по в. 3.1.). При необходимости коррекции спектрального несоответствия, поправочный коэффициент (относительная актиничность) вычисляют на основе данных об относительном спектральном распределении ТП и относительной спектральной чувствительности комплекса, т.е. с учётом относительной спектральной характеристики фотометрической головки и вклада относительного спектрального распределения функции сферы $\rho(\lambda)/(1-\rho(\lambda))$, где $\rho(\lambda)$ – спектральный коэффициент отражения материала внутренней поверхности сферы [38].

Рекомендуется, чтобы вспомогательная лампа для измерения самопоглощения имела спектр излучения, сходный со спектром ТП, особенно при измерениях одноцветных модулей.

3.3. Гониофотометры

Гониофотометр должен иметь угловой диапазон сканирования, соответствующий полному телесному углу, в котором ТП излучает свет. Это особенно важно для измерений полного светового потока.

Угловая юстировка ТП должна быть проведена с точностью $\pm 0,5^\circ$ от заданного направления. Угловой дисплей должен иметь разрешение не хуже $0,1^\circ$.

При измерениях пространственного распределения силы света источник излучения считается точечным. Силу

света получают из измеренной освещённости согласно закону обратных квадратов.

Для гониофотометров дальнего поля измерения проводят на следующих расстояниях:

- для ТП, имеющего близкое к косинусному (ламбертовскому) распределение (угол излучения $\geq 90^\circ$) во всех С-плоскостях: $\geq 5d$;

- для ТП, имеющего широкое угловое распределение, отличное от косинусного (угол излучения $\geq 60^\circ$) в некоторых С-плоскостях: $\geq 10d$;

- для ТП, имеющего узкое угловое распределение, высокий градиент распределения силы света, когда необходимо контролировать уровень сигнала фотометров (спектрорадиометров) от бликов отражённого света: $\geq 15d$;

- для ТП, имеющего большее несветящиеся области между светящимися поверхностями: $\geq 15(d+s)$, где d – максимальный размер излучающей поверхности ТП, а s – наибольшее расстояние между двумя соседними светящимися поверхностями.

Для гониофотометров ближнего поля расстояние не нормируется.

Полный световой поток получают интегрированием распределения освещённости, поэтому при измерениях не обязательно использование гониофотометров дальнего поля.

Гониофотометры, имеющие мёртвую зону более 0,1 ср, могут использоваться для измерения полного светового потока только при условии проведения процедур коррекции.

3.3.1 Комплекс гониофотометр-фотометрическая головка

Относительное спектральное распределение фотометрической головки должно соответствовать функции относительной спектральной световой эффективности монохроматического излучения для дневного зрения $I(\lambda)$. При необходимости проводят коррекцию спектрального несоответствия по известным значениям относительного спектрального распределения излучения ТП и относительной спектральной чувствительности фотометрической головки. Коэффициент коррекции спектрального несоответствия определяют в соответствии со стандартом МКО [34].

Гониофотометр следует калибровать с помощью эталона силы света или эталона освещённости, имею-

щих прослеживаемость к единице СИ [37]. Если измеряется полный световой поток, то калибровку проводят с помощью эталона полного светового потока, имеющего прослеживаемость к единице СИ. При этом мёртвая угловая зона гониофотометра не должна влиять на результаты измерения стандартной лампы полного светового потока.

3.3.2 Комплекс гониофотометр-спектрорадиометр

Комплекс гониофотометр-спектрорадиометр следует калибровать с помощью эталона спектральной плотности силы излучения или эталона спектральной плотности энергетической освещённости, имеющих прослеживаемость к единице СИ [39].

При использовании комплекса для измерений полного светового потока или полного спектрального светового потока следует проводить калибровку с помощью эталона полного спектрального светового потока, имеющего прослеживаемость к единице СИ. Мёртвая угловая зона комплекса не должна влиять на результаты измерения стандартной лампы полного спектрального светового потока.

Спектрорадиометр, используемый в комплексе гониофотометр-спектрорадиометр, должен удовлетворять следующим требованиям: диапазон длин волн от 380 до 780 нм; неопределённость определения длины волны спектрорадиометром не должна превышать 0,5 нм при $k = 2$; спектральная ширина щели и шаг сканирования не должны превышать 5 нм. Спектрорадиометр должен иметь линейный отклик на входящее излучение на каждой длине волны видимого диапазона. Нелинейность и внутреннее рассеяние света должны учитываться в бюджете неопределённостей.

3.3.3 Комплекс гониофотометр-колориметр

Комплекс гониофотометр-колориметр должен включать в себя трехканальные колориметрические головки для измерения координат цвета X , Y , Z , которые должны иметь спектральную чувствительность, соответствующую цветовым функциям стандартов МКО. Канал Y должен также удовлетворять требованиям к комплексу гони-

офтотометр-фотометрическая головка (п. 3.3.1).

Если эти условия не выполняются, то комплекс может быть использован только для измерения цветовых различий.

3.4. Яркомеры

Для измерений могут применяться как традиционные яркомеры, измеряющие яркость точек, так и фотояркомеры, формирующие изображение распределения яркости поверхности. Яркомеры калибруют с помощью эталона яркости, имеющего прослеживаемость к единице СИ [37].

Относительное спектральное распределение яркомера должно соответствовать функции относительной спектральной световой эффективности монохроматического излучения для дневного зрения $V(\lambda)$ [36].

При необходимости проводят коррекцию спектрального несоответствия по известным значениям относительного спектрального распределения излучения ТП и относительной спектральной чувствительности фотометра. Коэффициент коррекции спектрального несоответствия функции $V(\lambda)$ определяют в соответствии с формулами, приведёнными в [34, 40]. При измерениях фотояркомером неопределённость измерений может быть оценена сравнением с результатами измерения распределения яркости типичного светодиодного устройства с помощью традиционного яркомера.

3.4.1. Фотояркомеры [41, 41a, 42]

Основным назначением цифровых формирующих изображение яркомеров или фотояркомеров (*imaging luminance measurement device*) является измерение проекции пространственного распределения яркости протяжённых источников и освещённых поверхностей.

Фотояркомер – это прибор, состоящий из датчика изображения (например, матрицы приборов с зарядовой связью), фотометрического корректирующего светофильтра, объектива, электронных компонентов (аналого-цифровой преобразователь, схема выборки и хранения, встроенный программный продукт обработки информации и дисплей). Приборы различаются типами калибровки.

Фотояркомер типа I: Только с яркостной калибровкой. Каждый из пикселей (i, j) яркостного изображения

$L(i, j)$ содержит только информацию о яркости, наблюдаемой в пределах сцены. Геометрическая информация для оценки изображения либо не нужна, либо не требуется.

Фотояркомер типа II: Каждый из пикселей (i, j) яркостного изображения $L(i, j)$ содержит как значение яркости сцены, так и сопутствующую информацию о направлении $\theta_c(i, j)/\phi_c(i, j)$ и местоположении $x_c(i, j)/y_c(i, j)$ и о видимых телесных углах $\Delta\Omega_{Pixel}(i, j)$. Для фотояркомеров этого типа необходима как фотометрическая, так и геометрическая калибровка.

Свойства классических яркомеров описаны в [34]. В случае фотояркомеров следует учитывать некоторые дополнительные особенности:

- Измерения и оценки обычно производятся при помощи компьютерных программ. Перевод физического сигнала (собранных фотографий) в значения яркости может оказаться сложным, и иногда для этого используются алгоритмы обработки и сжатия изображения (например, для уменьшения объёма данных).

- Фотояркомеры имеют большое количество (более или менее) независимых приёмников, которые называют пикселями. Если рассматривать систему как совокупность отдельных приёмников, то каждый из приёмников должен иметь свои собственные характеристики. Однако на практике эти пиксели совмещают (механическими средствами или математически), чтобы сформировать несколько зон измерения (зон оценки).

- Некоторые из имеющихся в продаже фотояркомеров допускают лёгкую замену оптической системы (изменение фокусного расстояния, апертуры, объективов и нейтральных светофильтров). В общем случае, служащие для описания фотояркомера параметры относятся только к определённой конфигурации (фиксированное фокусное расстояние, неизменные апертуры), которую следует указывать вместе с показателями качества.

- Яркостное изображение представляет собой совокупность значений яркости $Y(i, j)$, измеряемых входящим в состав фотояркомера датчиком изображения с $(N \cdot M)$ чувствительными элементами (пикселями).

- Фотояркомеры следует калибровать при помощи эталонов яркости с использованием однородной светящейся ламбертовской поверхности,

размер которой существенно превышает входящее в зону оценки поле объекта. Используемый для проведения калибровки эталон яркости калибруется, как промежуточный эталон, при помощи калиброванного яркомера методом замещения (приёмник калибрует приёмник) или фотометрической головки в mode освещённости с дополнительной прецизионной диафрагмой на светящейся поверхности эталона яркости.

- Фотояркомеры также можно калибровать с использованием источника с известным спектральным распределением энергии излучения, существенно отличающимся от излучения чёрного тела (например, для цветных СД). В этом случае спектральная чувствительность средства измерения должна существенно отличаться от нуля во всём используемом спектральном диапазоне, что позволит определить коэффициент коррекции спектрального несоответствия.

- На основе результатов спектро-радиометрических измерений можно рассчитать и поправочные множители. Для этого необходимы спектральные эталоны энергетической яркости. На основе данных о калибровке этих эталонов следует рассчитать (интегральные) фотометрические величины в соответствии с их определениями. При этом следует принимать во внимание корреляцию между спектральными характеристиками этих эталонов, так как она вносит существенный вклад в неопределённость измерений.

- При расчёте неопределённости измерений следует принимать во внимание распределение силы света эталона яркости, особенно в случае больших углов поля измерения фотометра, или если метод замещения реализуется с использованием различных углов полей измерения промежуточного эталона и калибруемого яркомера.

- Фотояркомеры следует регулярно калибровать через рекомендуемые производителем промежутки времени или если есть подозрения, что характеристики прибора изменились.

3.5. Гониофотометр ближнего поля [43]

Концепция фундаментальной феноменологической фотометрии базируется на величинах *светового потока* Φ , *силы света* $I = d\Phi/dw$, *освещённости* $E = d\Phi/dA$ применительно

к условиям выполнения (в заданном приближении) закона обратных квадратов, т.е. условиям, в которых приемник и источник излучения можно считать точечными. В реалиях мы имеем дело с протяженными ИС и ОП, измерение фотометрических характеристик которых требует больших расстояний. В то же время, фундаментальная фотометрия оперирует таким понятием, как яркость $L = d\Phi/dw \cos\theta$. Яркость является характеристикой светящейся физической поверхности и не зависит от расстояния. Теория светового поля, предложенная А.А. Гершуном в начале 30-х годов прошлого столетия, и разработанный им телесцентрический метод измерения силы света позволили интерпретировать понятие яркость, приспавшему бесконечно малый пространственный угол, эквивалентный геометрическому лучу.

Таким образом, элементарный конус dw может рассматриваться как бесконечно тонкий луч с дифференциальным сечением $dA \cos\theta$. Яркость L связана с силой света следующим соотношением: $L = dI/dA \cos\theta$, где область дифференцирования окружает точечный источник света. Аналогичным образом можно выразить яркость через освещенность: $L = dE/dw \cos\theta$, тогда выражение для освещенности E примет вид: $E = \int_w L \cos\theta dw$. Последнее выражение полезно тем, что позволяет рассчитать освещенность в точке поверхности, созданную протяженным источником, если известно распределение яркости этого источника.

В природе существуют физические ИС, которые не имеют определенной светящейся поверхности, т.к. они объемны, например, плазма, распространяющая свет из объема. Другим примером может служить свет

неба, связанный с рассеянием солнечного излучения в атмосфере.

Применительно к объемным источникам излучения можно говорить о яркости реальной или яркости образа (имида). Другими словами, можно определить яркость в данной точке пространства и в заданном направлении как световой поток, отнесенный к единице площади в данном направлении в единичном пространственном угле. Таким образом, рассматривается не светящаяся поверхность: речь идет о световом поле вокруг наблюдателя (реального или виртуального), и используется фундаментальное представление яркости как геометрического пучка лучей для комплексного описания пространственного распределения яркости протяженного ИС.

Теория поля Гершуна нашла свое широкое применение именно сегодня, когда трехмерная компьютерная графика при соответствующем программном обеспечении позволяет рассчитывать освещенность в любой точке любой поверхности в трехмерном пространстве, если известна яркость всех лучей, проходящих через эту точку [44].

Практическое применение теории Гершуна реализовано в методике определения яркости воображаемой поверхности вокруг протяженного источника света с помощью так называемого гониофотометра ближнего поля (рис. 4), включающего в себя гониометр и фотометр – яркомер, последовательно измеряющий яркость до 250000 геометрических лучей (пространственных конусов) в любой точке пространства. Яркомер устанавливается на перемещающемся плече, которое вращается вокруг ОП в вертикальной плоскости. Сам ОП может вращаться в горизонтальной плоско-



Рис. 4. Гониофотометр ближнего поля типа RIGO 801 (ВНИСИ им. С.И. Вавилова)

сти. Видеокамера на приборах с зарядовой связью с коррекцией под относительную спектральную световую эффективность и набором линз используется в качестве яркомера. Соответствующим подбором линза камера фокусируется на светящееся тело ОП. Каждый чувствительный элемент матрицы измеряет яркость пирамидального объема в заданном направлении. Таким образом, в состав гониофотометра ближнего поля входит фотояркомер.

3.6. Спектрорадиометрический измерительный комплекс

Спектрорадиометрический измерительный комплекс может базироваться на оптическом стендце, выполненнном, например, с применением оптической скамьи типа ОСК 2. Спектрорадиометр, применяемый в измерительной системе, может быть на основе матрицы приборов с зарядовой связью на выходе минидинспергирующей схемы или сканирующий, с двойным монохроматором. В любом случае, спектрорадиометр играет роль компаратора в схеме сравнения спектрального распределения эталонного источника излучения и тестируемого прибора. Использование миниспектрометра позволяет реализовать экспресс методики, но уступает в точности измерений. Сканирующий спектрометр используется в задачах прецизионных абсолютных измерений спектрального распределения облученности.

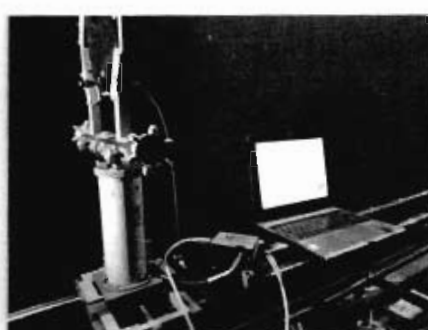


Рис. 5. Элементы спектрорадиометрического стенда с миниспектрометром (ВНИСИ им. С.И. Вавилова): слева – диффузная насадка оптического волокна на входе миниспектрометра; справа – миниспектрометр.

энергетической яркости, силы излучения или потока излучения. Для сравнения с эталоном каждой из перечисленных выше величин необходимо дополнительное оборудование в виде специальных оптических систем проецирования изображения или режима освещения входной щели или входа в волоконно-оптический тракт мицелектрометра с ПЗС-матрицей на выходе (рис. 5). Единицы измерения прослеживаются до излучателя Планка, т.е. до термодинамической температуры T , К.

Продолжение статьи будет опубликовано в одном из ближайших номеров журнала «Светотехника».

СПИСОК ЛИТЕРАТУРЫ

1. Gerloff, T., Lindemann, M., Shirokov, S., Taddeo, M., Pendsa, S., Sperling, A. Development of a New High-Power LED Transfer Standard // Light & Engineering. – 2013. – № 2. – Р. 41–46.
- 1а. Герлофф Т., Линдеманн М., Широков С., Таддео М., Пенда С. Разработка нового мощного светодиодного эталона сравнения // Светотехника. – 1913. – № 4. – С. 47–50.
2. Agafonov D.R., Sapritsky V.I., Stolyarevskaya R.I., Tolstikh G.N. Luminous Intensity LED Working Gage // Light & Engineering. 2000. – Vol. 8, No. 2. – Р. 74–80.
- 2а. Агафонов Д.Р., Саприцкий В.И., Столяревская Р.И., Толстых Г.Н. Рабочий эталон силы света на основе светодиодов // Светотехника. – 2000. – № 3. – С. 9–12.
3. Sildija, M. et al. Predictable Quantum Efficient Detector I. Photodiodes and predicted responsivity // Metrologia. – 2013. – Vol. 50. – Р. 385–394.
4. Muller J. et al. Predictable Quantum Efficient Detector II. Characterization Results // Metrologia. – 2013. – Vol. 50. – Р. 395–401.
5. Krueger, U. 2001. Technological aspect of the spectral correction adjustment of space-resolved radiation detectors // Light & Engineering. – 2001. – Vol. 9, No. 3. – Р. 61–71.
- 5а. Крюгер У. Спектральная корректировка матричных приёмников излучения // Светотехника. – 2001. – № 4. – С. 16–20.
6. Weißhaar J.P. Next Generation Goniophotometry // Light & Engineering. – 2015. – Vol. 23, No. 4. – Р. 75–80.
- 6а. Вайшхаар Ю.П.. Гониофотометрия следующего поколения // Светотехника. – 2015. – № 5. – С. 23–27.
7. URL: <http://www.instrumentsystems.com>. (дата обращения 24.01.2017).
8. Zwinkels, J.C., Ikonen, E., Fox, N.P., Ulm, G., Rastello, M.L. Photometry, radiometry and «the candela»: evolution in the classical and quantum world // Metrologia. – 2010. – Vol. 47, No. 5. – Р. 15–32.
9. Petsky, B.W. The Atomic Units, the Kilogram and the Other Proposed Changes to the SI // Metrologia. 2007. V44, #1, pp.69–72.
10. Mills, I.M., Mohr, P.J., Quinn, T.J., Taylor, B.N., Williams, E.R. Redefinition of the Kilogram, Ampere, Kelvin and Mole: A Proposed Approach to Implementing CIPM Recommendation 1 (CI-2005) // Metrologia. – 2006. – Vol. 43, No. 3. – Р. 227–246.
11. Mills, I.M., Mohr, P.J., Quinn, T.J., Taylor, B.N., Williams, E.R. Redefinition of the Kilogram: A Decision Whose Time Has Come // Metrologia. – 2005. – Vol. 42, No. 2. – Р. 71–80.
12. BIPM SI Brochure. Appendix 2. «*Mise en pratique* for the definition of the candela and associated derived units for photometric and radiometric quantities in the International System of Units (SI)». CCPR (BIPM). 2015.
13. BIPM SI Brochure: The International System of Units (SI), 8th edition. 2006; updated in 2014. Bureau International des Poids et Mesures. F-92310 Sèvres, France.
14. CIE TN004:2016 The Use of Terms and Units in Photometry - Implementation of the CIE System for Mesopic Photometry.
15. CIE: TN «Interim Recommendation for Practical Application of the CIE System for Mesopic Photometry in Outdoor Lighting». Enquiry Draft. 2017.
16. Кузьмин В.И., Николаев С.Е. Методы и приборы для оперативной оценки энергоэффективности оптического излучения в условиях светокультуры // Светотехника. – 2016. – № 4. – С. 41–43.
17. Кузьмин В.И., Николаев С.Е. Methods and Devices for Quick Evaluation of Optical Radiation Energy Efficiency // Light & Engineering. 2016. – № 4. – Р. 103–104.
18. Кум Т.К., Шпентьес Н., Эльце Т. Продолжения по оценке излучения, физиологически активного для растений// Светотехника. – 2003. – № 1. – С. 40–41.
19. Fox, N.P. Radiometry with cryogenic radiometers and semiconductor photodiodes // Metrologia. – 1995. – Vol. 32, No. 6. – Р. 535–544.
20. Gardner, J.L. A Four-element Transmission Trap Detector // Metrologia. – 1995. – Vol. 32, No. 6. – Р. 411–418.
21. Sapritsky, V.I. Black-body Radiometry // Metrologia. – 1995. – Vol. 32, No. 6. – Р. 411–418.
22. Sapritsky, V.I., Stolyarevskaya, R.I. Realization of the Lumen on the Basis of a Large-aperture High Temperature Black Body // Metrologia. – 1995. – Vol. 32, No. 6. – Р. 455–458.
23. Klein, R. Validation of the Probability Density Function for the Calculated Radiant Power of Synchrotron Radiation According to the Schrödinger Formalism // Metrologia. – 2016. – Vol. 53, No. 3. – Р. 927–932.
24. Анисский С.И., Золотаревский Ю.М., Крутиков В.И., Минакова О.А., Минаков Р.В., Сенин А.С. Разработка методов воспроизведения и передачи единиц спектрорадиометрии с использованием синхротронного излучения // Измерительная техника. – 2015. – № 3. – С. 31–33.
25. Castelletto, S., Godone, A., Novero, C., Rastello, M.L. Biphoton Fields for Quantum-efficiency Measurements // Metrologia. – 1995. – Vol. 32, No. 6. – Р. 501–504.
26. Гаврилов В.Р., Дунев А.Ю., Морозова С.П., Отряскин Д.А., Саприцкий В.И., Хлевний Б.Б. Государственный первичный эталон абсолютной спектральной чувствительности в диапазоне длин волн от 0,25 до 14,00 мкм // Измерительная техника. 2015, № 11, пр. 15–17.
27. CIE210: 2014 Photometry Using $V(\lambda)$ -corrected Detectors as Reference and Transfer Standards.
28. «Solid State Lighting Annex 2013 Interlaboratory Comparison Final Report». 10.09.2014 // http://ssl.iea-4.c.org/files/otherfiles/0000/0067/IC2013_Final_Report_final_10.09.2014.pdf.
29. Bartsev, A.A., Belyaev, R.I., Stolyarevskaya, R.I. International Interlaboratory Comparison IC2013 Experience and Participation Results of the VNISI Testing Centre // Light & Engineering. – 2015. – Vol. 23, No. 3. – Р. 55–64.
- 29а. А.А. Бартцев, Р.И. Беляев, Р.И., Столяревская. Международные межлабораторные сличения-2013 (IC2013). Опыт и результаты участия ИЦ ВНИСИ // Светотехника. – 2015. – № 5. – С. 35–41.
30. CIE S025/E:2015: Test Method for LED Lamps, LED Luminaires and LED Modules.
31. CIE S009 / E:2002 / IEC62471:2006 Photobiological Safety of Lamps and Lamp Systems.
32. Bartsev, A.A., Belyaev, R.I., Stolyarevskaya, R.I. Methodology of LED Luminaire BLH Radiance Measurements // Light & Engineering, 2013, #1, pp.53–59.
- 32а. Бартцев А.А., Беляев Р.И., Столяревская Р.И. Метод измерения физиологически эффективной яркости опасного синего излучения осветительных приборов // Светотехника. – 2013. – № 2. – С. 25–29.
33. CIE202:2011 Spectral Responsivity Measurement of Detectors, Radiometers, and Photometers.
34. ISO/CIE19476:2011(E) Characterisation of the Performance of Illuminance Meters and Luminance Meters.
35. CIE198:2011 Determination of Measurement Uncertainties in Photometry.
36. ГОСТ Р 8.332–78 ГСИ, Световые измерения. Значения относительной спектральной световой эффективности монохроматического излучения для земного зрения.
37. ГОСТ Р 8.023 ГСИ, Государственная поверочная схема для средств измерений световых величин непрерывного и импульсного излучений.
38. IESNA LM-78, 2007. «IESNA Approved Method for Total Luminous Flux Measurement of Lamps Using an Integrating Sphere Photometer».
39. ГОСТ Р 8-195 ГСИ Государственная поверочная схема для средств измерений спектральной плотности энергетической яркости, спектральной плотности силы излучения и спектральной плотности энергетической освещённости в диапазоне длин волн от 0,25 до 25,00 мкм: силы излучения и энергетической освещённости в диапазоне длин волн от 0,2 до 25,0 мкм.

40. ГОСТ Р 8.850 ГСИ Характеристики люксметров и яркометров, 2013.

41. Krüger, U., Ruggaber, B., Schmidt, F. Spectral Properties of Imaging Luminance Measuring Devices Considering the Angular Dependence of the Spectral Transmission of Filters // Light & Engineering. – 2012. – № 2. – P. 72–77.

41a. У. Крюгер, Б. Руггабер, Ф. Шимдт. Спектральные характеристики яркометров на ПЗС с учётом спектральных коэффициентов пропускания светофильтров // Светотехника. 2012. – № 1. – С. 46–50.

42. CIE Draft 2.55. NC2 59. WD03: Characterization of Imaging Luminance Measurement Devices (ILMDS).

43. CIE TC2-62: Imaging-Photometer-Based Near-Field Goniophotometry. 2009, Draft WD00.

44. Будак В.П., Смирнов И.А. Луч Света в Теории Светового Поля. Математическое Моделирование Световых Полей. М.: Издательство МЭИ, 2016.

45. ISO/IEC GUIDE 98-4.

46. CIE121-1996. The Photometry and Goniophotometry of Luminaires.

47. CIE13.3.:1995. Method of Measuring and Specifying Colour Rendering of Light Sources.

48. CIE15:2004. Colorimetry, 3rd Edition.

49. CIE TN001:2014.

50. CIE198:2011. Determination of Measurement Uncertainties in Photometry.

51. CIE198:2011. Determination of Measurement Uncertainties in Photometry – Supplemental Modules and Examples For the Determination of Measurement Uncertainties.

Июньское заседание бюро НТС

14 июня 2017 года под председательством Г.В. Босса состоялось очередное заседание бюро Научно-технического совета (НТС) «Светотехника». Руководители секций НТС представили бюро планы работ по своим направлениям и специалистов, согласившихся принять участие в работе секций. Л.Б. Прикупен, руководитель секции «Облучательные установки фотобиологического действия» рассказал о планах секции на 2017–2018 гг., среди которых двухгодичная серия фотобиологических исследований в РГАУ-МСХА по оптимизации светотехнических параметров облучательных установок для ракетных, присоединение к работе секции инженерных специалистов, подготовка стандартов по тематике секции.

Руководитель секции «Светотехническое образование и методология» Е.Ю. Матвеева представила план работ секции, в который вошли актуализация национальной светотехнической специальности, разработка совместно с секцией «Стандартизация и сертификация в светотехнике» профессионального Федерального государственного стандарта, анализ состояния светотехнического образования, организация взаимодействия со студентами и профессорско-преподавательским составом российских вузов.

Руководитель секции «Стандартизация и сертификация в светотехнике» А.Г. Шахпаруяннн среди важнейших задач, которые предстоит решать участникам секции, назвала организацию обсуждения светотехнической общественностью проектов стандартов, в том числе профессиональных стандартов, серии стандартов по светодиодам, освещению автомобильных дорог и сельскохозяйственному освещению, актуализацию нормативной документации по фотовещанию музейных фондов.

Глава секции «Метрология, современные методы измерения и измерительное оборудование» Р.И. Столяревская сообщила, что её секция планирует принять участие в создании специального эталона спектральной плотности полного потока излучения, в работах по адаптации для России стандарта МКО S025, в обсуждении стандарта Американского светотехнического общества по вопросам полезного срока службы световых приборов со светодиодами, а также в разработке измерительного оборудования для световых приборов со светодиодами, продвижение синхронизации измерительных приборов для фотовещания и в области ФАР.

В.П. Булак, как руководитель секции «Программное обеспечение и математическое моделирование», предполагает в ближайшее время завершить работу по сравнению точности результатов расчёта внутреннего освещения в основных программах проектирования осветительных установок. После публикации отчёта планируется обсудить его со всеми заинтересованными специалистами и присвоить их к дальнейшему сотрудничеству в рамках секции. Далее по такому же алгоритму будут рассматриваться темы светового дизайна, наружного и уличного освещения, сценарий формирования представления результатов, тепловые и оптические расчёты.

Учёный секретарь НТС Д.Д. Юшков рассказал о составах и планах работ секций, руководители которых по уважительным причинам отсутствовали на заседании бюро.

Бюро НТС дало некоторые рекомендации по уточнению планов работ с тем, чтобы после их доработки они были распространены всем членам совета.

Кроме планов работ секций НТС на заседании бюро был рассмотрен вопрос о развитии и модернизации кафедры светотехники НИУ «МЭИ». Было отмечено, что руководители холдинга БЛ ГРУПП, ВНИСИ им. С.И. Вавилова и кафедры светотехники провели определённую организационную работу по повышению качества высшего образования и подготовке новых кадров для НИУ «МЭИ». На базе ВНИСИ под руководством В.Г. Босса создан учебно-исследовательский комплекс - в его аудиториях на экспериментальных установках уже проведены важные исследования и подготовлены магистерские диссертации студентов кафедры светотехники. Бюро было доложены результаты следующего этапа кадровой работы, а именно методической подготовки преподавателей, разработки новых учебных программ, актуализации учебных дисциплин действующих учебных планов подготовки бакалавров по профилю «Светотехника и источники света» и магистров по основной образовательной программе подготовки «Теоретическая и прикладная светотехника», а также дисциплин разрабатываемых учебных планов. Кроме того, членам Бюро были представлены новые преподаватели кафедры светотехники.

В.Ю. Снетков,
Учёный секретарь НТС «Светотехника»



Столяревская Раиса Иосифовна, доктор техн. наук. Окончила в 1968 г. физический факультет Казанского государственного университета. Зам. главного редактора журнала «Светотехника» и научный редактор англоязычной версии журнала «Light & Engineering». Представитель Российской национального комитета МКО в Отделении 2 МКО



Розовский Евгений Исаакович, к.т.н. (1984 г.), окончил МЭИ в 1971 г. Ведущий научный сотрудник ООО «ВНИСИ им. С.И. Вавилова». Старший научный редактор журнала «Светотехника». Эксперт от РФ в ТК 34 МЭК «Источники света и сопутствующее оборудование»

Фотометрия осветительных приборов со светодиодами¹

Э. БЕРГЕН

Компания Photometric Solutions International Pty Ltd, Мельбурн, Австралия
E-mail: tonyb@photometricsolutions.com

Аннотация

Светодиоды (СД) резко изменили наш подход к освещению. Они динамичны, универсальны и красочны. Их свет легко регулировать и модулировать, они прочны, долговечны и в различных сочетаниях позволяют как реализовывать живописные и интересные конфигурации, так и формировать захватывающие и жизнерадостные освещённые сцены.

При этом они могут создавать проблемы в части измерений и стандартизации. Не все эти проблемы являются новыми или необычными, но с появлением СД они стали более важными или очевидными и требующими более тщательного рассмотрения. В статье освещается ряд вопросов, с которыми фотометрические лаборатории сталкиваются при испытаниях осветительных приборов с СД, и подчёркивается важность стандартизации.

Ключевые слова: фотометрия, фотометрия СД, стандартизация СД.

1. Погрешности, обусловленные спектральной коррекцией

На рис. 1 приведена функция $V(\lambda)$, представляющая собой спектральную световую эффективность для человеческого зрения. Эта функция лежит в основе всей фотометрии, т.к. она говорит о том, как наши глаза воспринимают свет, и чувствительности фотоприёмников, таких как люксметры и яркомеры, должны соответствовать этой функции. Кроме того, на рис. 1 приведён спектр излучения лампы накаливания (теплового источника излучения с цветовой температурой 2856 K), который характерен для источников света, используемых для калибровки фотометров.

Однако спектры светодиодных (СД) ламп сильно отличаются от спектра используемого для калибров-

ки источника света. Т.к. спектральная чувствительность фотометра никогда не совпадает в точности с идеальной функцией $V(\lambda)$, то это приводит к по-

грешностям измерений, которые называют погрешностями спектральной коррекции. Величина такой погрешности зависит от спектральной чувствительности приёмника и спектра измеряемого источника света.

На рис. 2 слева приведены функция $V(\lambda)$ (зелёная линия), спектральная чувствительность гипотетического приёмника, плохо коррелированного в синей области спектра (синяя линия) и спектр СД холодно-белого света (красная линия). Хотя спектры и не согласованы в синей области,

Рис. 1. Кривая $V(\lambda)$, на которой основана фотометрия, и спектр лампы накаливания, обычно используемой для калибровки фотометров

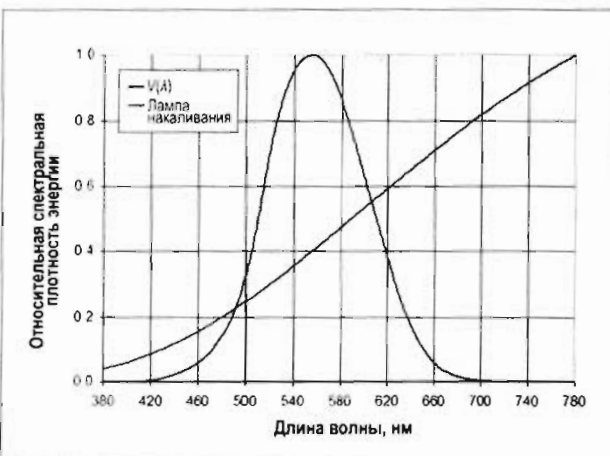
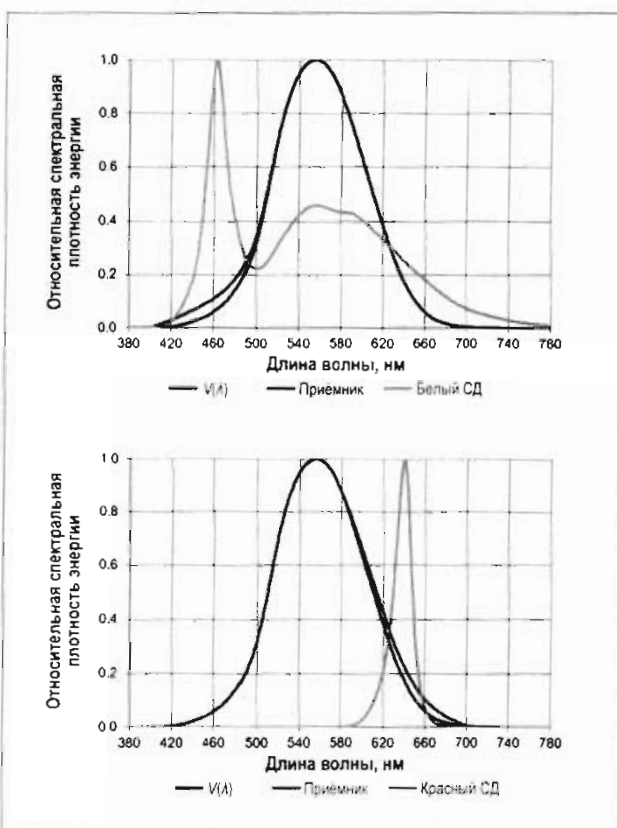


Рис. 1. Кривая $V(\lambda)$, на которой основана фотометрия, и спектр лампы накаливания, обычно используемой для калибровки фотометров



¹ Перевод с англ. Е.И. Рожковского

в которой имеет место большой пик излучения СД, значения функции $I(\lambda)$ в этой области малы, и вклад синей составляющей в значения световых волчин гораздо ниже вклада более длинноволнового излучения (примерно 1:17), что уменьшает погрешность, так что в этом случае погрешность измерений будет равна примерно 3 %. На рис. 2 справа показан один гипотетический приёмник, который плохо корректирован в красной области спектра. В этом случае большая часть спектра излучения сосредоточена в области, в которой приёмник плохо корректирован под функцию $I(\lambda)$, и в этом случае погрешность измерений будет равна примерно 20 %. Этот пример говорит о том, что для цветных СД спектральное несоответствие имеет гораздо большее значение, чем для белых СД, однако для обеспечения высокого качества измерений мы должны это учитывать и вводить, по возможности, поправки при измерениях белых СД.

Дополнительная информация о калибровке фотометров, включая определения погрешностей, связанных со спектральным несоответствием, содержится в [1]. В [2] предлагается основанный на значениях характеристики f_1 фотометра метод определения возможного максимального значения подобной погрешности, которая может иметь место при измерениях белых СД.

2. Источники света с широтно-импульсной модуляцией

Для питания СД источников света часто используется широтно-импульсная модуляция (ШИМ), позволяющая осуществлять управление их тепловыми режимами и светорегулирование. Это очень полезно для проектировщиков освещения, но способно усложнить жизнь фотометристов. ШИМ приводит к тому, что источник света быстро включается и выключается много раз в секунду, и тем самым, в зависимости от коэффициента заполнения, мгновенное значение силы света значительную часть времени может быть равным нулю. Это существенно сказывается на стабиль-

Рис. 3 Зависимость мгновенного значения силы света от времени для фонаря с СД с двумя режимами работы

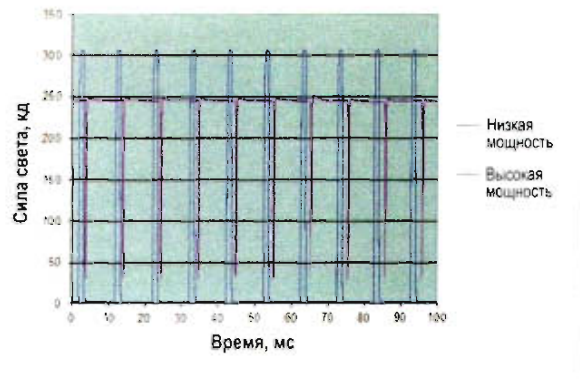


Таблица 1

Сводка результатов измерений фонаря с СД, соответствующих рис. 3

Параметр	Режим низкой мощности	Режим высокой мощности
Пиковая сила света, кд	306	247
Режим работы, %	13,1	98,2
Световая энергия за время 100 мс, кД·с*	3,94	24,0

* Обычно световая энергия (*luminous energy*) измеряется в лм·с (CIE S017-E:2011 «International Lighting Vocabulary», термин 17–733). – Прим. пер.

ности проводимых измерений, если их временной режим был выбран недостаточно гнательно (см., например, приведённую на рис. 3 зависимость от времени силы света фонаря с СД, имеющего два режима работы).

Если фонарь работает в режиме низкой мощности, то его пиковое значение силы света на самом деле выше, чем при работе в режиме высокой мощности. Это, скорее всего, связано с тепловым режимом: в режиме низкой мощности световой поток из-

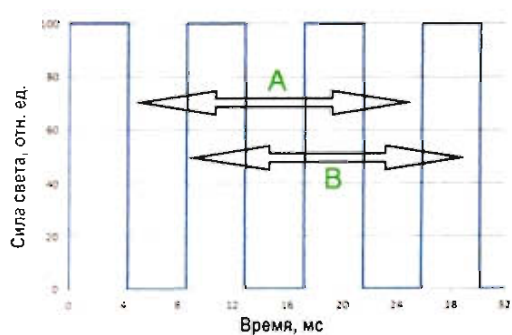
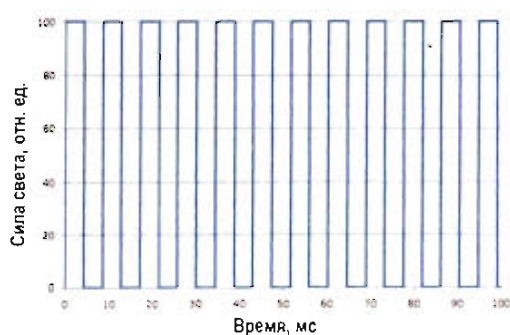


Рис. 4. Гипотетический источник света с широтно-импульсной модуляцией с частотой 116 Гц, максимальной силой света 100 кд и коэффициентом заполнения 50 % (слева) и результаты двух измерений этого источника света при разных моментах зажигания (справа)

Таблица 2

Результаты измерений гипотетического источника света, соответствующих левой части рис. 4

Время измерения, мс	Результаты измерений, кд
0–20	56,9
20–40	50,9
40–60	43,1
60–80	55,1
80–100	52,7

лучается в течение небольших промежутков времени и падает до нуля в остатальное время. Результаты измерений, соответствующие этим двум режимам работы, приведены в табл. 1.

Как следует из табл. 1, даже несмотря на то, что при работе в режиме низкой мощности пиковое значение силы света на 24 % выше, чем при работе в режиме высокой мощности, из-за малого коэффициента заполнения количество излучаемой световой энергии в первом случае меньше. Если усреднить данные в пределах 100-мс временного интервала, то можно заметить, что световая энергия, излучаемая в режиме высокой мощности, примерно в шесть раз больше, чем световая энергия, излучаемая в режиме низкой мощности, вследствие чего в режиме высокой мощности источник света воспринимается как более яркий.

Фотометры обычно предназначены для измерения света в течение про-

межутков времени (время интегрирования), являющихся целыми кратными периода напряжения сети питания. Так что при частоте сети 50 Гц время измерения будет равно 20, 40 или 60 мс и т.д. Представьте, что фотометр с временем интегрирования 20 мс используется для измерения гипотетического источника света с частотой ШИМ 116 Гц (период = 8,62 мс), амплитудой силы света 100 кд и коэффициентом заполнения 50 % (рис. 4, слева).

В правой части рис. 4 приведено расширенное изображение соответствующего зажиганию участка левой части рис. 4, а также два результата измерений, проведенных с временем интегрирования 20 мс для разных моментов зажигания. В варианте A будут измерены два полных импульса, тогда как в варианте B будут измерены 2,6 импульса, и полученное в результате значение будет на 30 % выше, и это несмотря на то, что изме-

ряется один и тот же источник света. Анализ можно продолжить, разделив пример, приведенный в левой части рис. 4, на 5 отдельных периодов длительностью 20 мс каждый (табл. 2).

Среднее значение данных, приведенных в табл. 2, соответствующее результатам одного измерения продолжительностью 100 мс, равно 51,7 кд. Истинная (долгосрочная) средняя сила света должна быть равна 50 кд (100 кд при коэффициенте заполнения 50 %), так что даже при измерениях в течение 100 мс погрешность составляет 3,4 %.

В этом случае правильным было бы подобрать время интегрирования так, чтобы оно соответствовало периоду питания измеряемого источника света. Если время интегрирования фотометра можно было бы выбрать равным 8,62; 17,24 или 34,48 мс и т.д., то это обеспечило бы правильную для этого источника света выборку. Частота ШИМ часто неизвестна, так что оптимальное время интегрирования следует определять экспериментально, регулируя время интегрирования до тех пор, пока колебания результатов измерений будут сведены к минимуму.

3. Направленность СД источников света

Измерение распределения силы света при помощи гониофотометров дальнего поля проводятся в предположении, что размеры светильника «малы» по сравнению с расстоянием измерения. Имеются рекомендации по выбору расстояния измерения: например, согласно [3] это расстояние должно быть не менее чем в 15 раз больше максимального размера излучающего свет участка светильника (это называют правилом 15:1 (*15:1 rule*)), однако эта величина может быть уменьшена до «в 5 раз больше параллельного оси лампы размера излучающего свет участка» в случае источников света с почти ламберговским (косинусным) распределением (правило 5:1).

Однако в [4] было показано, что даже при выполнении этих рекомендаций по выбору расстояния измерения, измерения светильников с СД, включающих в себя отдельные СД, СД модули или СД магниты, разделенные большими, но излучающими

Рис. 5. Модель дорожного светильника, состоящего из отдельных СД модулей

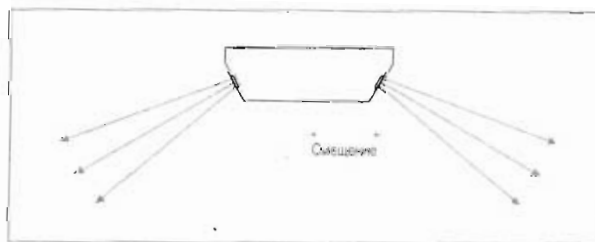
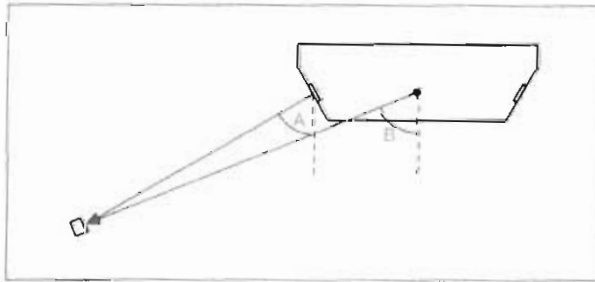


Рис. 6. Модель дорожного светильника, демонстрирующая некорректное определение угла прямого выхода светового потока или угла выхода центрального луча



ает участками, может сопровождаться значительными погрешностями. Рассмотрим модель уличного светильника (рис. 5). Это может восприниматься как крайний случай, однако автору встречались похожие уличные светильники, содержащие отдельные СД модули, которые позволяли получать узконаправленные пучки лучей в нужных направлениях.

При измерении на гониофотометре, этот светильник будет установлен таким образом, чтобы его фотометрический центр совпадал с точкой отсчета гониометра. Однако если гониофотометром измеряют часть пучка лучей в направлении, которое обозначено на рис. 5 стрелками, то свет явно поступает из точек, расположенных к приемнику ближе, чем точка отсчета гониометра. Это может привести к погрешностям измерений, которые увеличиваются по мере уменьшения расстояния измерения, но даже при использовании правила 15:1 в случае дорожного светильника с меридиональным углом центрального луча 60° погрешность измерения никовой силы света может достигать $6,1\%$ [4].

Возможны и дополнительные погрешности, связанные с определением угла прямого выхода светового потока или угла выхода центрального луча светильника (рис. 6). Угол прямого выхода светового потока обозначен на рис. 6, как A , однако гониометр будет измерять его, как угол B . Хотя рис. 6 является явным преувеличением из-за чрезвычайно близкого местоположения приемника, встречающиеся на практике погрешности тоже могут оказаться значительными: при использовании правила 15:1 погрешность определения меридионального угла центрального луча может достигать $0,96^\circ$ [4].

В [4] была предложена идея использования подхода « $D + S$ » при определении минимального расстояния измерения, когда максимальная ширина не излучающего свет участка S прибавляют к размеру излучающего свет участка D . В случаях изображенных на рис. 5 и 6 моделей светильников размер не излучающего свет участка S примерно равен полной ширине излучающего свет участка D , что приводит к практически двукратному увеличению расстояния измерения. Подход « $D + S$ » включен в требования стандартта

Рис. 7. Пример того, как коррелированная цветовая температура СД лампы может изменяться в зависимости от угла относительно оси лампы

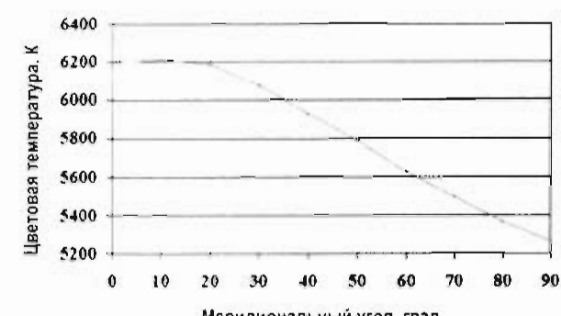
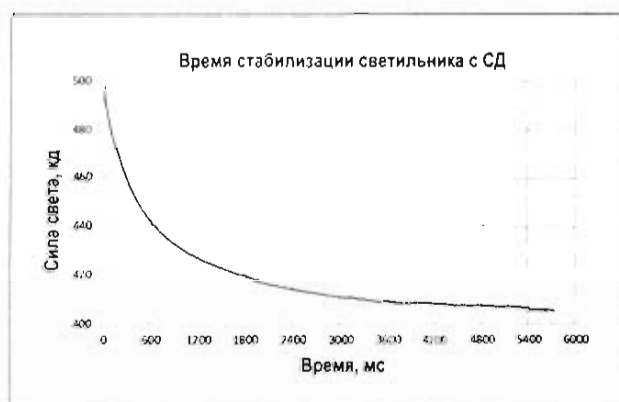


Рис. 8. Уменьшение силы света светильника с СД по мере его разогрева



[5] к расстоянию гониофотометрических измерений.

4. Угловая зависимость цвета

Традиционные источники света, такие как люминесцентные лампы и разрядные лампы высокого давления, а также светильники с такими лампами, излучают свет, цветовые характеристики которого обычно практически не зависят от угла излучения. Это означает, что в помещении с многочисленными светильниками с лампами одного и того же типа или на дороге, освещенной светильниками с лампами одного и того же типа, цвет излучаемого светильниками света будет достаточно неизменным. Но это не всегда справедливо в случае белых СД, так как несмотря на достигнутые в последние годы успехи свет СД лампы или светильника с СД может сильно зависеть от угла, так что пользователь может заметить изменение цвета при восприятии компанией, освещенной светильниками приборами с СД. Пример того, как коррелированная цветовая температура СД лампы может изменяться в зависимости от угла относительно оси лампы, приведён на рис. 7.

Эта угловая зависимость цвета означает, что теперь координаты цветности излучения изделий с СД следует измерять под разными углами, с тем чтобы определить пространственную равномерность цвета. В результате гониофотометры получили более широкое распространение, и теперь стандартной практикой является оснащение гониофотометра не только фотометром, но и спектрорадиометром. Методы определения пространственной равномерности цвета содержатся, например, в [5, 6], причём следует отметить, что метод, который приведён в [5], является более строгим (более правильным), чем приведённый в [6] метод.

5. Термические эффекты

Устройства с СД чувствительны к температуре, т.е. их световые характеристики зависят от температуры прибора. После включения прибора его температура возрастает до момента стабилизации, и по мере увеличения температуры световой поток прибора обычно уменьшается. Соответствующий пример приведён на рис. 8, где прибору с СД требуется для стабилизации более полутора ча-

сов, и его сила света уменьшается за это время на, примерно, 20 %.

Поэтому важно точно знать условия стабилизации прибора и учитывать их при измерении осветительных приборов с СД. Согласно [5], СД лампу или светильник с СД можно считать стабилизировавшимися, если:

- Прибор проработал не менее чем 30 мин и
- За последние 15 мин световой поток прибора изменился не более чем на 0,5 %, и
- За последние 15 мин потребляемая прибором мощность изменилась не более чем на 0,5 %.

Однако помимо времени стабилизации имеются и другие факторы, которые влияют на световой поток прибора и которые следует учитывать:

- Температура окружающего воздуха, которая должна быть в нормируемых пределах.
- Воздушные потоки, создаваемые системами кондиционирования воздуха, сквозняками или самим перемещаемым гониофотометром прибором.
- Теплопроводность, обусловленная наличием патронов или других установочных изделий, которые соприкасаются с прибором и отводят от него тепло.

6. Абсолютная фотометрия

Светильники, в которых используются традиционные источники света, такие как люминесцентные лампы, разрядные лампы высокого давления и другие стандартизованные заменяемые источники света, обычно измеряют методами относительной фотометрии. В этом случае значения силы света предварительно относят к световому потоку установленных в светильнике ламп и сохраняют в канделях на равный 1000 лм световой поток самих ламп. Достоинством такого подхода является то, что проектировщик освещения или архитектор может использовать относительные данные, соответствующие тому типу ламп, который он собирается применить в проектируемой осветительной установке, и затем посредством масштабирования этих относительных данных определить, что же будет иметь место в реальной установке.

Однако в неразборных светильниках с СД заменяемые источники света не используются — такие светиль-

ники спаниают и заменяют в конце их срока службы. СД модуль не всегда можно извлечь (или извлечь достаточно аккуратно) для проведения относительных фотометрических измерений. Но это и не требуется, так как измеренный в лаборатории светильник будет (по крайней мере, формально) таким же, как и светильник, установленный в помещении, на дороге, на стадионе и т.д. Поэтому измерения светильников с СД обычно проводятся с использованием абсолютной фотометрии, и сообщаемые результаты — это те данные, которые были получены в лаборатории. Большинство лабораторий имеет оборудование, позволяющее производить абсолютные измерения, так что это не обязательно затрудняет проведение измерений.

Следует также отметить, что в этих случаях КПД светильника равен 100 %!

7. Потребность в стандартизации

Исторически сложилось так, что в различных частях света были разработаны разные методы испытаний осветительных приборов с СД. Это препятствует торговле и затрудняет проведение сличений, так как результаты измерений, проведённых в соответствии со стандартами одного региона, не всегда можно непосредственно сравнить с результатами измерений, проведённых в соответствии со стандартами другого региона.

Международная комиссия по освещению (МКО) представляет собой независимую некоммерческую организацию, которую Международная организация по стандартизации (ИСО) и Международная электротехническая комиссия (МЭК) признают в качестве международной организации по стандартизации в области света и освещения. В 2011 г. МКО сформировала технический комитет ТС2-71 «Стандарты МКО на методы испытаний СД ламп, СД модулей и светильников с СД», задачей которого была разработка стандартных методов фотометрических, колориметрических и электротехнических измерений осветительных приборов с СД. Этот комитет является действительно международным, так как включает в себя 37 представителей из 16-ти стран всех 5-ти континентов.

Результатом работы этого комитета явилась публикация стандарта S025/E:2015 «Методы испытаний СД ламп, СД модулей и светильников с СД» [5]. S025 содержит унифицированный метод испытаний, обеспечивающий гармонизацию испытаний изделий с СД. Национальным и региональным организациям по стандартизации и контрольно-надзорным органам рекомендуется принять S025 и использовать этот стандарт для проведения измерений приборов с СД.

СПИСОК ЛИТЕРАТУРЫ

1. ISO/CIE19476:2014(E). Characterization of the Performance of Illuminanc Meters and Luminance Meters.
2. Krüger, U., Blattner, P. Spectral mismatch correction factor estimation for white LED spectra based on the photometer's f-value // CIE x038:2013 Proc. of the C1 Centenary Conference «Towards a New Century of Light», Paris, 2013.
3. CIE121-1996. The Photometry and Goniophotometry of Luminaires.
4. Bergen, A.S.J., Jenkins, S.E. Determining the minimum test distance in the goniophotometry of LED luminaires // CIE x037:2012 Proc. of CIE2012 «Lighting Quality and Energy Efficiency», 2012.
5. CIE S025/E:2015. Test Method for LED Lamps. LED Luminaires and LED Modules.
6. IESNA LM-79-08. Electrical and Photometric Measurements of Solid-State Lighting Products.



Энтони Берген
(Tony Bergen).

Физик с более чем 20-летним опытом работы в области фотометрии и радиометрии с упором на гониофотометрию, спектрорадиометрию, лабораторные исследования и погрешности измерений. Технический директор компании Photometric Solutions International, Австралия. Секретарь отделения 2 МКО, президент австралийского регионального комитета МКО, представитель Австралии в отделении 2 МКО и руководитель ТК 2-77 и ТК 2-78 МКО

6. Серов Н. Свет – время – информация / Там же. – С. 52–54.

7. Лекус Е. Световая среда: человек в пространстве современности / Там же. – С. 8–10.

8. Маккуайр С. Мединый город: медиа, архитектура и городское пространство. – М.: Strelka Press, 2014. – 527 с.

9. Huorinen J. Bringing back the narrative / Тезисы докладов Международной научно-практической конференции «Световой дизайн». – Санкт-Петербург: Ун-т ИТМО, 2016. – С. 14–16.

10. Narboni R. Urban lights, nocturnal urbanity / Там же. – С. 16–17.

11. Масорин А. Мастер-план освещения исторического центра Великого Новгорода / Там же. – С. 26–27.

12. Хайджин А. Искусственный свет в зелёных рекреациях вдоль улиц и магистралей столицы. Внутри, снаружи и на Садовом кольце / Там же. – С. 23–24.

13. Котцева И., Тарасенко В. Световое решение как импульс к изменениям городского пространства / Там же. – С. 17–19.

14. Силкина М. Световое искусство в дизайне городского оборудования / Там же. – С. 20–22.

15. Kolgushkina S., Zhitlov V. Research methodology for urban lighting environment using eye-tracking technologies / Там же. – С. 27–28.

16. Шальцева И. Свето-цветовые эффекты и оптические иллюзии в наружном освещении / Там же. – С. 24–25.

17. Дубиновская А. Исследование влияния цветного света на восприятие формы / Там же. – С. 35–37.

18. Быстрыццева И. Задачи современного образовательного процесса / Там же. – С. 42–44.

19. Карпенко В. Свет как смысл: световая композиция в учебном проектировании процесса / Там же. – С. 48–49.



Лекус Елена Юрьевна, кандидат культурологии. Окончила в 2000 г. СПбГХПА им. А.Л.Штиглица и в 2013 г. – аспирантуру Московского гуманитарного университета.

Доцент Высшей школы светового дизайна Университета ИТМО и кафедры искусствоведения и культурологии Центра инновационных образовательных проектов СПбГХПА им. А.Л.Штиглица. Член творческого объединения светодизайнеров RULD, творческого объединения «Студия креативной вещи» и Ассоциации искусствоведов. Советор и художник скульптурного ансамбля «Первая скрипка». Лауреат всероссийской выставки «DESIGN LAND 09».

Seoul Semiconductor и Toshiba Materials представили светодиоды с широкими спектрами излучения

Компании Seoul Semiconductor и Toshiba Materials на пресс-конференции в Германии представили новые корпусированные светодиоды (СД) серии «SunLike», которые этим летом поступят в продажу в Сеуле и частично основаны на люминофорах «TRI-R» компании Toshiba. Эти СД будут иметь равномерный широкий спектр излучения (СИ), больше похожий на СИ солнца, чем на типичные СИ белых СД. В них использованы фиолетовый (400–410 нм) кристалл и тройная смесь – красного, зелёного и синего – люминофоров, что обеспечивает хорошую цветопередачу и исключает пик излучения в синей части спектра, который обычно ассоциируется с СД на основе синих кристаллов.

Директор по маркетингу компании Toshiba Materials сказал, что СД на основе люминофора «TRI-R» получают близкую к 100 оценку цветопередачи в метриках R_f (точность) и R_g (папитра), введённых стандартом TM-30, выпущенным МКО в 2015 г. с целью для замены общего индекса цветопередачи R_g (правда, TM-30 пока что не получил международного признания). СИ СД на основе «TRI-R» и обычных белых СД показаны на рисунке (слева и справа соответственно).

СД «SunLike» похожи на СД компании Soraa (на базе фиолетового кристалла), не имеющие синего пика.

Андреас Вайсл, исполнительный директор и вице-президент по продажам в Европе компании Seoul Semiconductor Europe, отметил, что

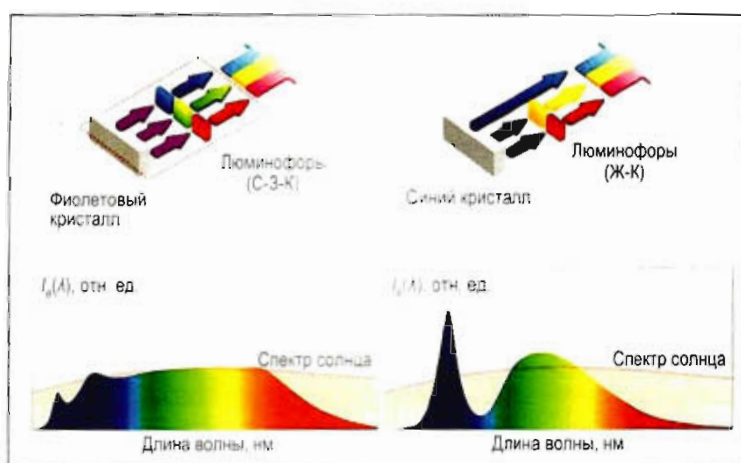
СД серии SunLike в первую очередь предназначены для освещения жилищ, объектов здравоохранения и архитектуры, гостиничного бизнеса и розничной торговли. Именно там важно качество света. И широкий равномерный спектр излучения этому соответствует.

Кроме того, по словам Вайсла, СД «SunLike» найдут применение и в таких областях, которые неохотно принимали СД источники света. Одним из примеров служит сельское хозяйство, в котором СД хорошо проявили себя при освещении ряда культур, но не имеют, как у НЛВД, широкого спектра и большой доли излучения в жёлто-зелёном диапазоне. (Согласно современным представлениям, культуры, направленные на получение большой биомассы, помимо красного и синего света нуждаются ещё в жёлтом и зелёном свете.)

Кроме того, уже одно только исключение синего пика может сделать эти изделия более безопасными для здоровья людей.

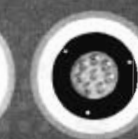
Seoul Semiconductor не сообщила никаких подробностей о технических характеристиках новых СД, если не считать упомянутые выше метрики из TM-30. В то же время, Seoul Semiconductor отметила, что световая отдача новых СД будет на 10% ниже, чем у наилучших СД этой компании. Однако этот недостаток привнес всем СД с высоким качеством цветопередачи.

ledsmagazine.com
27.06.2017

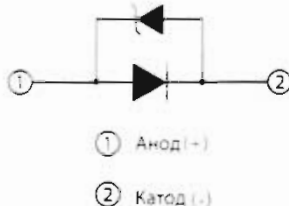




LG Innotek



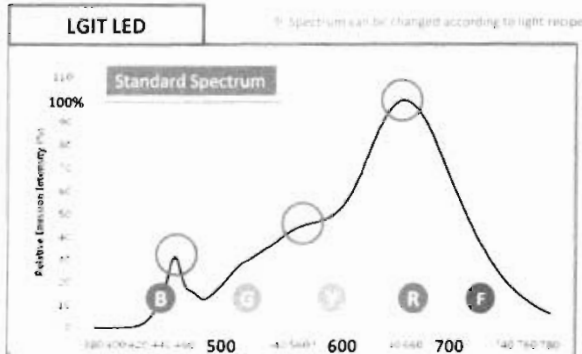
Светодиоды для выращивания растений и агрокультур



Для выращивания растений в теплицах или искусственных помещениях необходимо обеспечить растениям оптимальные условия фотосинтеза. Основные условия – это температура и освещенность. Осветительные приборы должны обеспечивать излучаемый спектр света, близкий к естественному спектру солнца. Такой спектр довольно сложный, в нем содержится излучение от ультрафиолетового до инфракрасного с пиками голубого и красного цветов.

Корейский производитель LG Innotek производит светодиоды для выращивания растений, которые обеспечивают высококачественный белый свет с индексом CRI>90 и имеющие наиболее близкий к естественному солнечному свету спектр излучения.

Пики спектра светодиодов LG Innotek с цветовой температурой 2700K и коэффициентом цветопередачи CRI>90 как раз находятся на необходимых для фотосинтеза уровнях 650нм красного цвета и 450нм синего цвета, которые влияют на рост, прорастивание и плодоношение растений. Новые светодиоды излучают наиболее естественный свет для растений и человека в диапазоне от 400 до 780 нм. Благодаря высокому индексу цветопередачи CRI>90 не только растения хорошо растут, но и человеку очень удобно работать, обслуживать тепличные комплексы и растения.



Наименование	Мощность, Вт	CCT (K)	Средний световой поток (лм)	Ifmax (mA)	Напряжение, (В)		Индекс CRI (Ra)
					мин	макс	
LEMWS51R90MZ3A00	0,2...0,6	2700	23 лм при 65mA 49,2 лм при 150mA	200	2,75	3,25	>90
LEHWH51W90MH3A00	0,6...1,6	2700	59,7 лм при 20mA 120 лм при 42mA	50	29,5	36,5	>90

iC Contract

Техническая поддержка www.ic-contract.ru
Специальные цены под проекты info@ic-contract.ru
Поставки на заказ тел.: (343) 372-92-30



ГРУППА КОМПАНИЙ
ПРОМЕЛЕКТРОНИКА



Посетите нас!
Интерлайт 2017
Москва

7 - 10 ноября 2017
Павильон ФОРУМ
Стенд F.B100

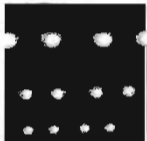


Световые решения для растениеводства

Ускорение темпов роста · Более интенсивный аромат · Эффективный производственный процесс · Экономия энергии

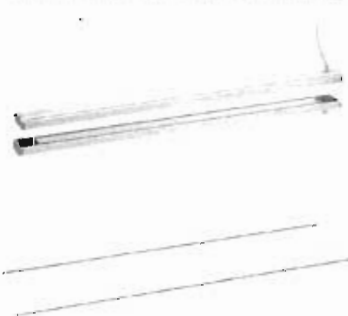
ИНДИВИДУАЛЬНЫЕ РЕШЕНИЯ

Компания Vossloh-Schwabe адаптирует новейшие COB технологии и объединяет их с оптикой, блоками питания, датчиками и вариантами управления согласно вашей конкретной задаче. Общаясь с клиентами и понимая их требования, мы можем планировать, разрабатывать и производить решения, которые реализуются в тесном сотрудничестве с нашими клиентами и соответствуют требованиям конкретного проекта.



СТАНДАРТНАЯ ПРОДУКЦИЯ

Многолетний опыт да также широкое успешное реализованных проектов позволяет нам разработать стандартные решения. Наша серийная продукция работает пообещаны и могут быть встроены в существующие системы в качестве модульных компонентов.



СОЗДАНИЕ СПЕЦИАЛЬНЫХ СПЕКТРОВ

Каждый вид растений нуждается в определенных спектрах света для оптимизации процесса роста и формирования плодов. Сочетание выбранных длин волн и специальных составов пленкофора открывает горизонты для адресного воздействия на растения.



www.vossloh-schwabe.com

A member of the Panasonic group **Panasonic**